

$$\rho = [\rho_1, \rho_2, \rho_3 \dots \rho^n] = \begin{pmatrix} c_{11} & c_{12} & c_{13} \dots & c_{1n} \\ c_{21} & c_{22} & c_{23} \dots & c_{2n} \\ c_{31} & c_{32} & c_{33} \dots & c_{3n} \\ \vdots & \vdots & \ddots & \vdots \\ c_{n1} & c_{n2} & c_{n3} \dots & c_{nn} \end{pmatrix}$$

$$A\rho = \begin{pmatrix} K_1 & \epsilon_{12} & \epsilon_{13} \dots & \epsilon_{1n} \\ \epsilon_{21} & K_2 & \epsilon_{23} \dots & \epsilon_{2n} \\ \epsilon_{31} & \epsilon_{32} & K_3 \dots & \epsilon_{3n} \\ \vdots & \vdots & \vdots & \vdots \\ \epsilon_{n1} & \epsilon_{n2} & \epsilon_{n3} \dots & K_n \end{pmatrix}$$

とする。こゝで

ρ_i ($i = 1, 2, \dots, n$) は近似列行列

K_i ($i = 1, 2, \dots, n$) は同列の他の要素に比べて大きい数

ϵ_{ij} ($i, j = 1, 2, \dots, n$, $i \neq j$) は K_j に比べて小さく、精度を高くすると共に 0 に収斂すべき数、以下 $|\epsilon_{ij}|$ を誤差といふ。

弛張法では、 ρ の各要素を次々に修正して $A\rho$ の各誤差を次第に 0 に近づけるのであるが、1つの誤差を消そうとすると他の誤差が大きくなつて、収斂しにくい場合が多い。以下 ρ の要素を修正する方法を次の5種に分類し、収斂を早める工夫に関して論を進める。

(1) 点修正 1つの誤差を消すために1つの要素を修正する。

(2) 群修正 同列の2つ以上の要素を同時に同量だけ修正する。

(3) 部分修正 同列の2つ以上の誤差が同時に0になるように、いくつかの要素を同時に修正する、例えば ϵ_{32} と ϵ_{52} を同時に0にするには

$$\begin{cases} a_{33}x + a_{35}y = \epsilon_{32} \\ a_{53}x + a_{55}y = \epsilon_{52} \end{cases}$$

を満足すると x, y を、それぞれ C_{32}, C_{52} から減ずる。この場合あらかじめ

$$\begin{pmatrix} a_{33} & a_{35} \\ a_{53} & a_{55} \end{pmatrix} \quad (\text{このような行列を } A \text{ の部分行列ということにする。})$$

の逆行列を求めておくと便利で、同じ形の部分行列が何回も表わされる場合にこの方法は特に有効である。

(4) 列修正 1つの誤差を消すために1列全部を修正する、例えば ϵ_{32} を消すためには ρ_3 の各要素 $c_{13}, c_{23}, \dots, c_{n3}$ を ϵ_{32}/K 倍したものを、それぞれ ρ_2 の各要素 $c_{12}, c_{22}, \dots, c_{n2}$ から差引くのである。

(5) 一括修正 全部の誤差について同時に列修正を適用する。

以上各種の方法の得失及び応用例については講演当日にゆずる。

(1-22) フィレンデール桁の節点部における 応力度分布の光弾性的研究

正員	東京都立大学工学部	○大	野
正員	同	井	諫
准員	同	上	胤
		山	稔

1. 緒言 従来、この種の実験報告を見るに、主要応力線及び縁辺応力度分布を求めるにとどめ、各断面の応力度分布を出してないため、設計々算並びに細部構造に対する指針を知るに、誠に不自由、不満足を覚えるので、本実験においては主要応力線、縁辺応力度分布と共に、肝要な各断面に対する各種応力度分布曲線を、光弾性実験による等傾線及び等色線より求めることにした。

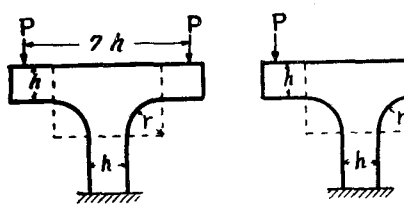
2. 実験装置 都大、構造力学講座備付の科研光弾性装置。

3. 試験片 材料はフェノライト及びアクリライトを用い、荷重及び形状は図-1、荷重装置は図-2に示す。

4. 実験結果 図-3、4、5、6及び7はその1、2の例を示すものである。

5. 結論

図-1 試験片及び荷重



$$\text{Thickness } t = 6 \text{ mm}$$

$$\frac{r}{h} = 0.2 \quad h = 25 \text{ mm}$$

$$\frac{r}{h} = 1.0 \quad h = 10 \text{ mm}$$

図-2 荷重装置

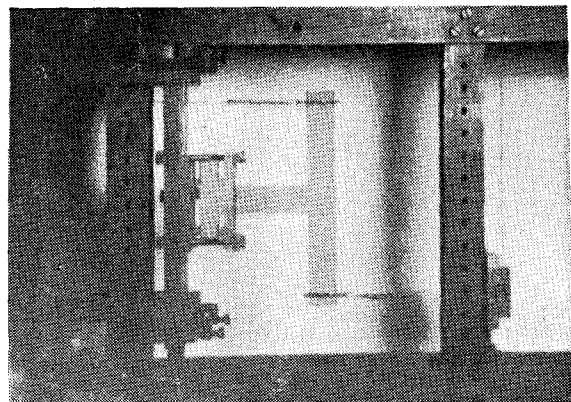


図-3 対称荷重、等色線
Phenolite 試験片

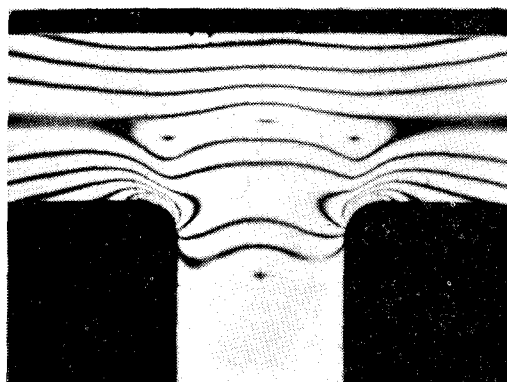


図-4 逆対称、荷重、等色線
Phenolite 試験片

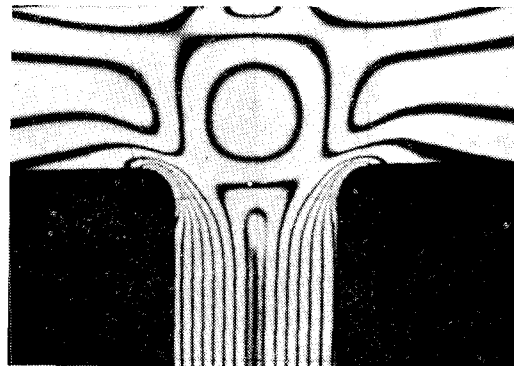


図-5 対称荷重、等傾線
Acrylite 試験片

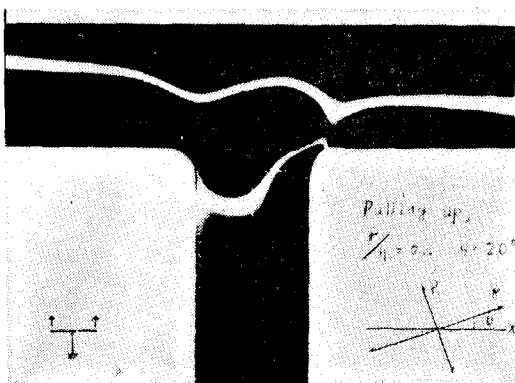


図-6 逆対称荷重、等傾線
Acrylite 試験片

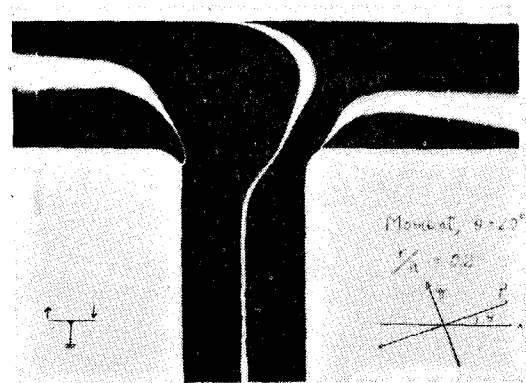
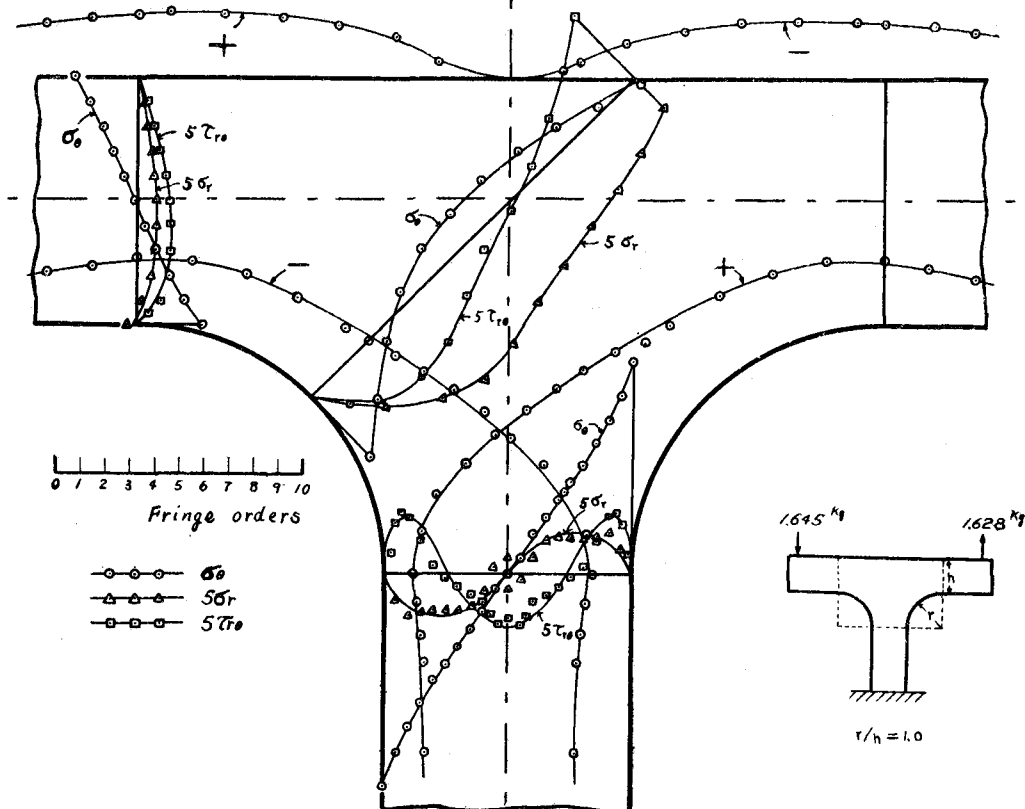


図-7 逆対称荷重
縁辺応力度分布及び各断面応力度分布, $r/h=1.0$



(1-23) 連続梁における Shake down について

准員 建設省中部地方建設局 松井 宏一

1. 概説 構造物の設計に際して従来行われてきた弾性学を用いる方法は、構造物全体としての強度ではなく、構造物の一部分を問題としているから構造物の真の強度を知るために満足なるものではない。当然 limit design が必要となつてくる。しかし近來発展してきた limit design は、構造物に働くすべての荷重が同時にかかり、それが比例的に増大していく場合に適用されてきたのであつて、構造物が大きさや場所を変えるような荷重をうける場合にはまた異つた破壊の形が考えられるべきである。これに応ずるもののが Shake down の考え方である。

2. 剛節構造物における Shake down

Shake down としては普通遞増、交番の2つの塑性変形が考えられる。これを一般剛節構造物について示すと

$$\left\{ \begin{array}{l} (M_i^e)_{\max} + m_i \leq M_{Pi} \\ (M_i^e)_{\min} + m_i \geq (M_{-P})_i \end{array} \right. \quad (1)$$

$$\left\{ \begin{array}{l} (M_i^e)_{\max} - (M_i^e)_{\min} \geq 4M_{yi} \end{array} \right. \quad (2)$$

$$(M_i^e)_{\max} - (M_i^e)_{\min} \geq 4M_{yi} \quad (3)$$

となり式(1), (2)及び(3)はそれぞれ遞増塑性変形及び交番塑性変形の範囲を与えるものである。ここに i は i 点を示し $(M_i^e)_{\max}$, $(M_i^e)_{\min}$: 最大、最小弾性曲げモーメント, m_i : 残留曲げモーメント, $(M_P)_i$, $(M_{-P})_i$: 正負の全塑性曲げモーメント, $4M_{yi}$: 弹性変形範囲。